

Analyse de surface d'onde pour l'optique adaptative

Webinar MOI - Thème 2 - Session 1

Jean-François SAUVAGE sauvage@onera.fr



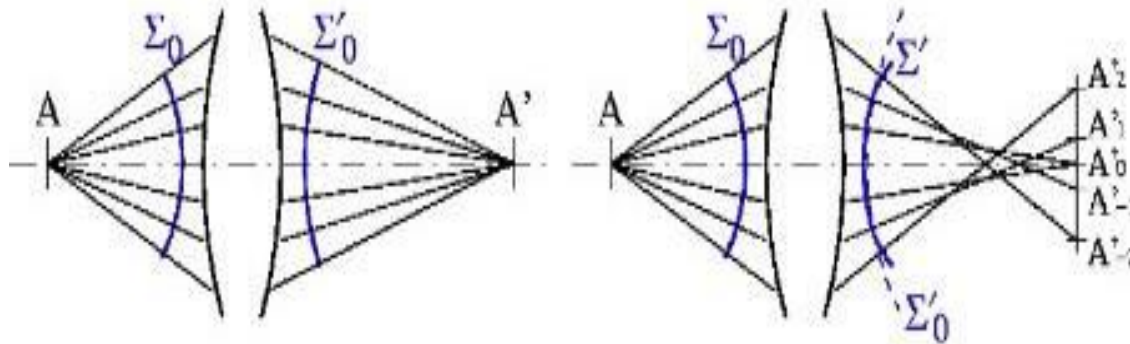
retour sur innovation

Un point central pour l'astronomie moderne

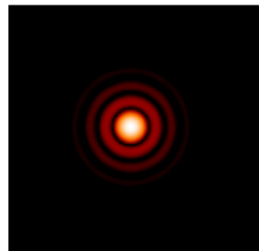
- ❑ Les aberrations optiques
- ❑ L'optique adaptative
- ❑ L'importance de l'analyse de surface d'onde
- ❑ Analyseurs de surface d'onde
 - ❑ Dans la pupille
 - ❑ Shack-Hartmann
 - ❑ Pyramid
 - ❑ Dans le plan focal
 - ❑ Diversité de phase

Effet d'une aberration optique

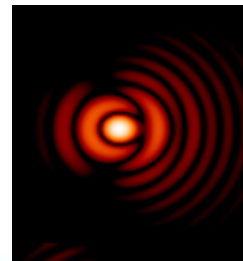
- Sans aberration :
 - Corpusculaire : tous les **rayons** issus de A convergent exactement en A'.
 - Ondulatoire : la **surface d'onde** sphérique S_0 qui diverge de A se transforme en une surface d'onde sphérique S'_0 qui converge en A'.
- En présence d'aberrations : ce n'est plus le cas



Tache de diffraction d'Airy

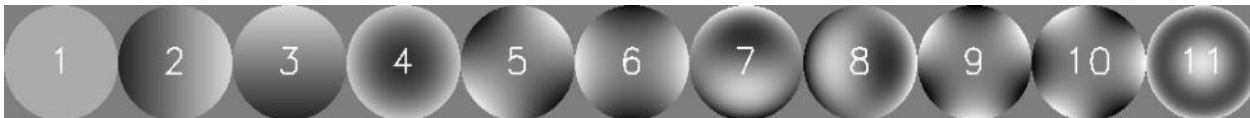


Tache de diffraction aberrante



Les aberrations optiques

- On parle (presque) indifféremment :
 - D'aberrations optiques
 - De phase
 - De front d'onde aberrant
 - De surface d'onde aberrante
 - D'avance / retard de phase

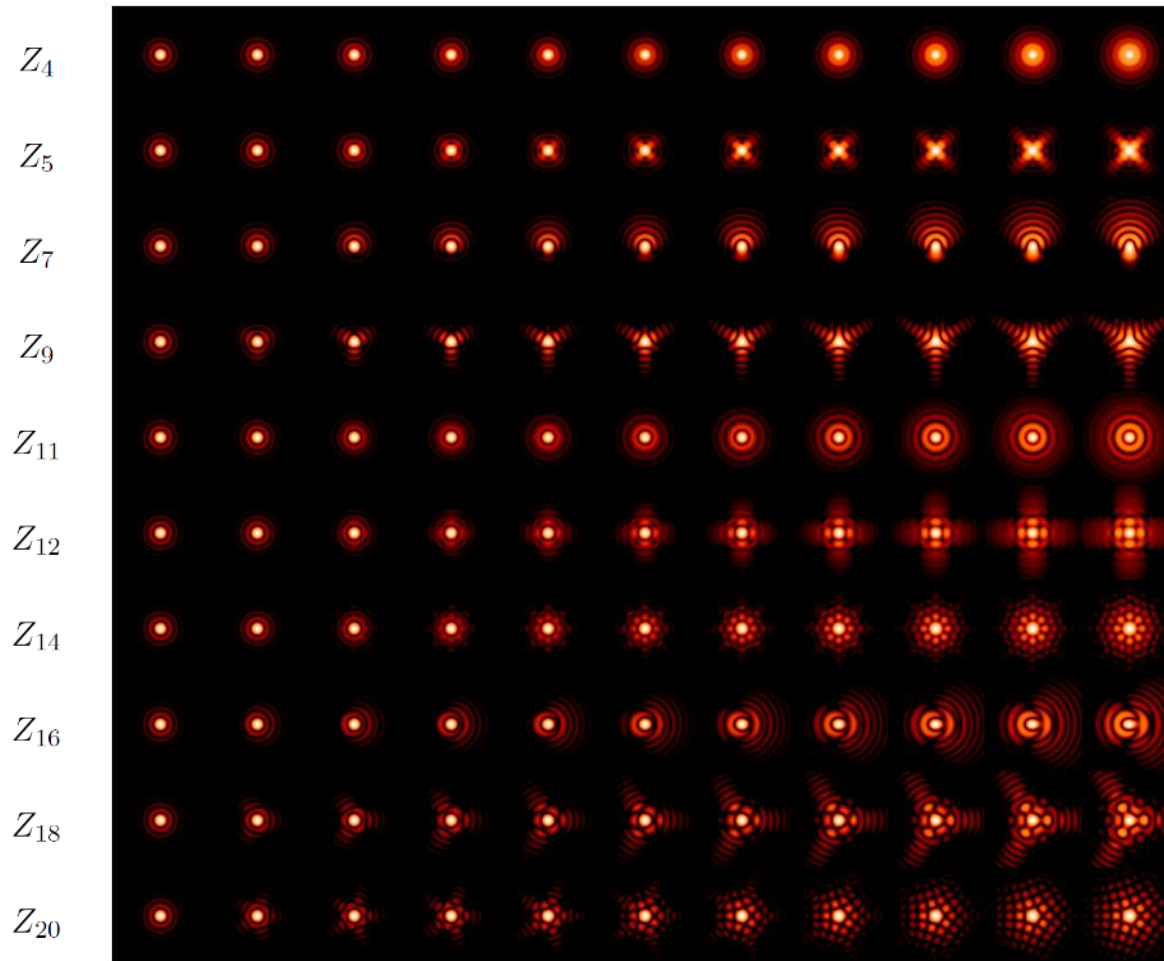


- ...pour parler de la même chose : un écart à la situation parfaite qui crée un défaut dans le plan focal d'imagerie

Polynômes de Zernike vus dans le plan image

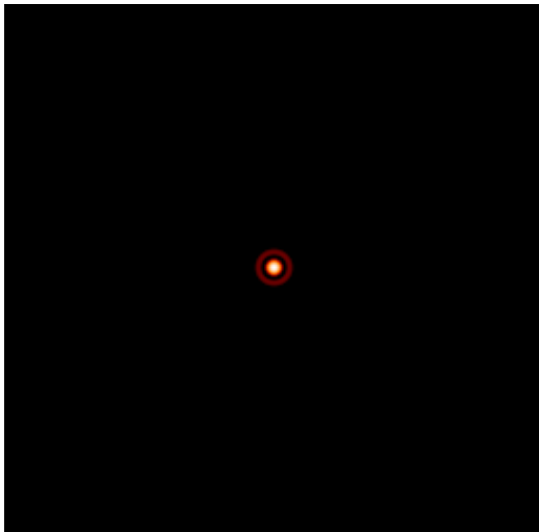
WFE (rad RMS OPT) @633nm

0.00 0.10 0.20 0.30 0.40 0.50 0.60 0.70 0.80 0.90 1.00



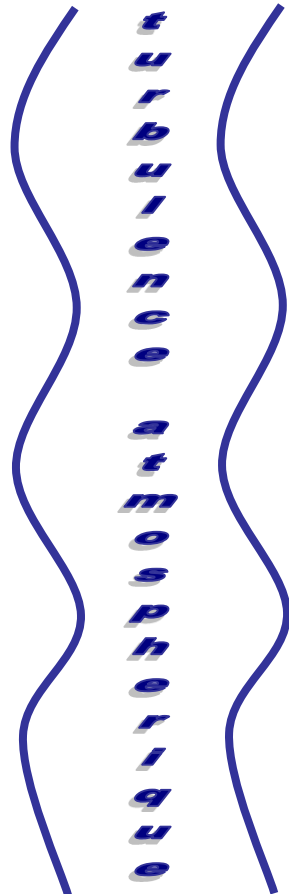
Les effets de la turbulence

Dans l'espace

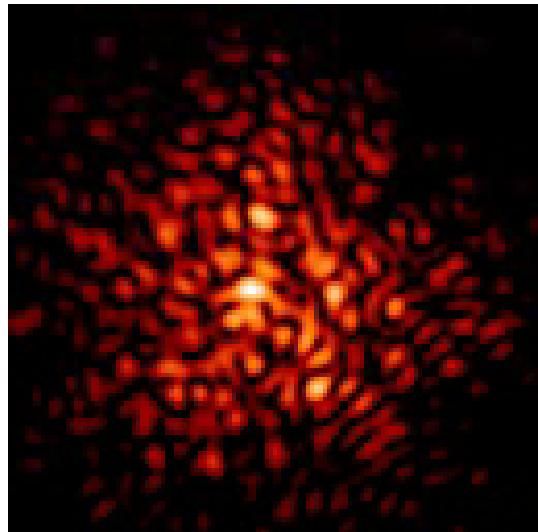


$$\rightarrow || \leftarrow \lambda/D$$

Résolution
limité par les effets de diffraction



Au sol

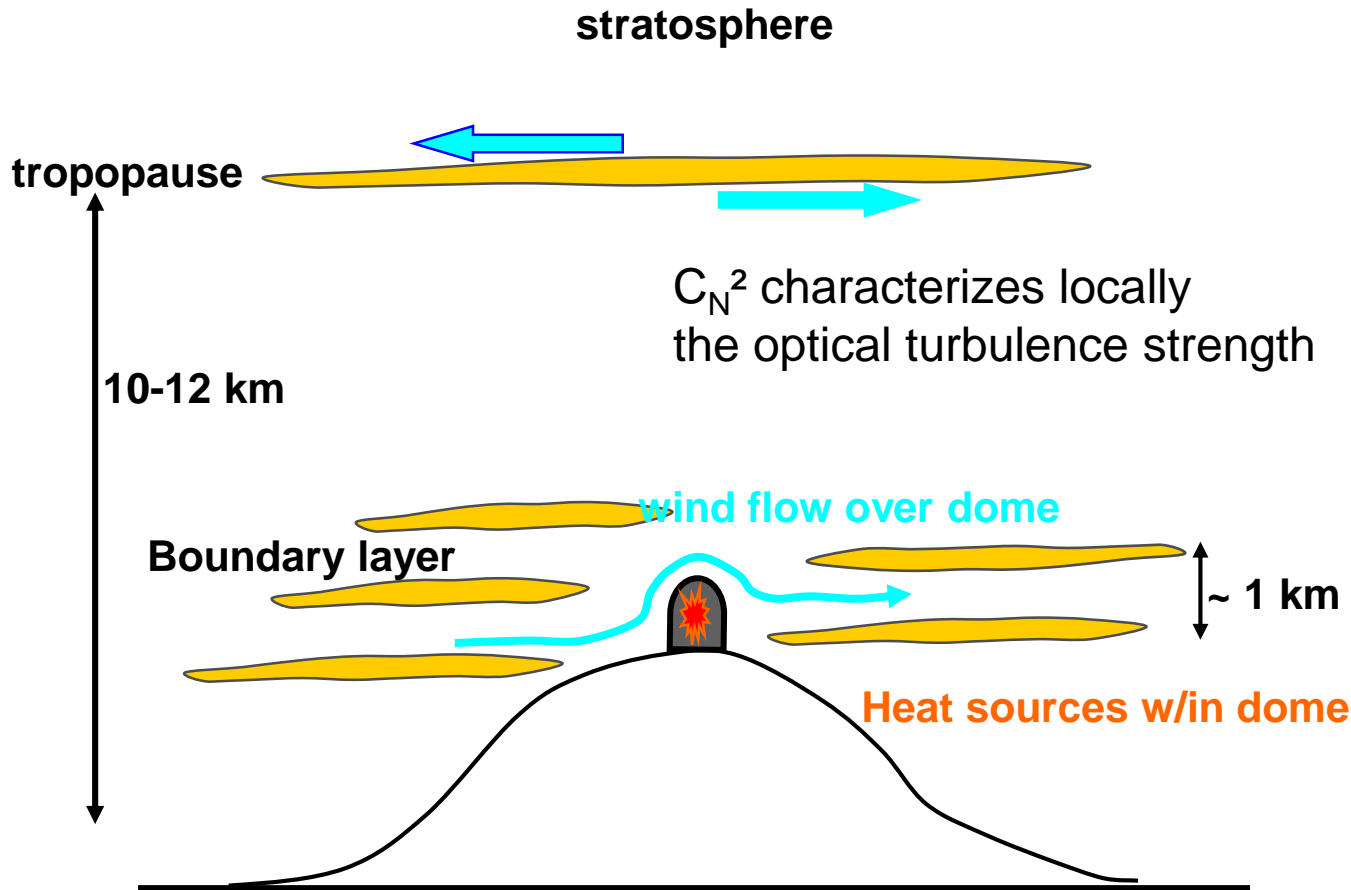


$$\lambda/r_0$$

Résolution
limité par la turbulence

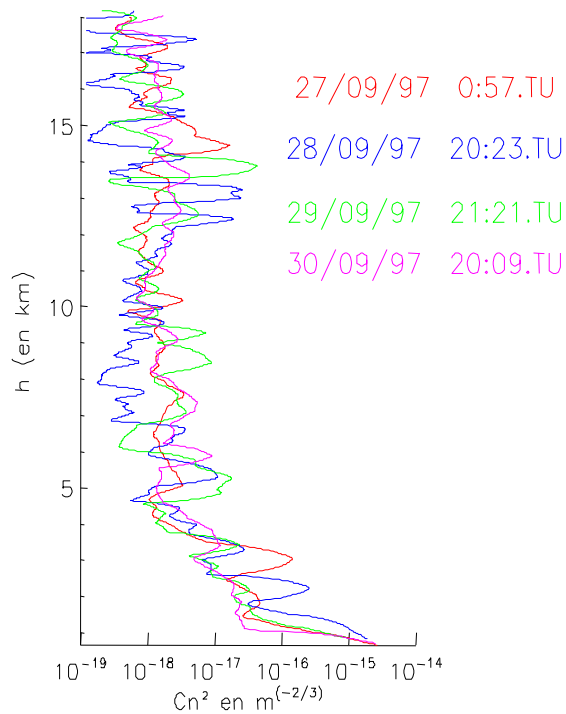
From Mechanical to Optical Turbulence

- Mechanical turbulence (turbulent velocities) mixes air at different **temperature** hence inducing “turbulent” temperature fluctuations
- The air refractive index being a function of temperature it therefore induces **refractive index** fluctuation



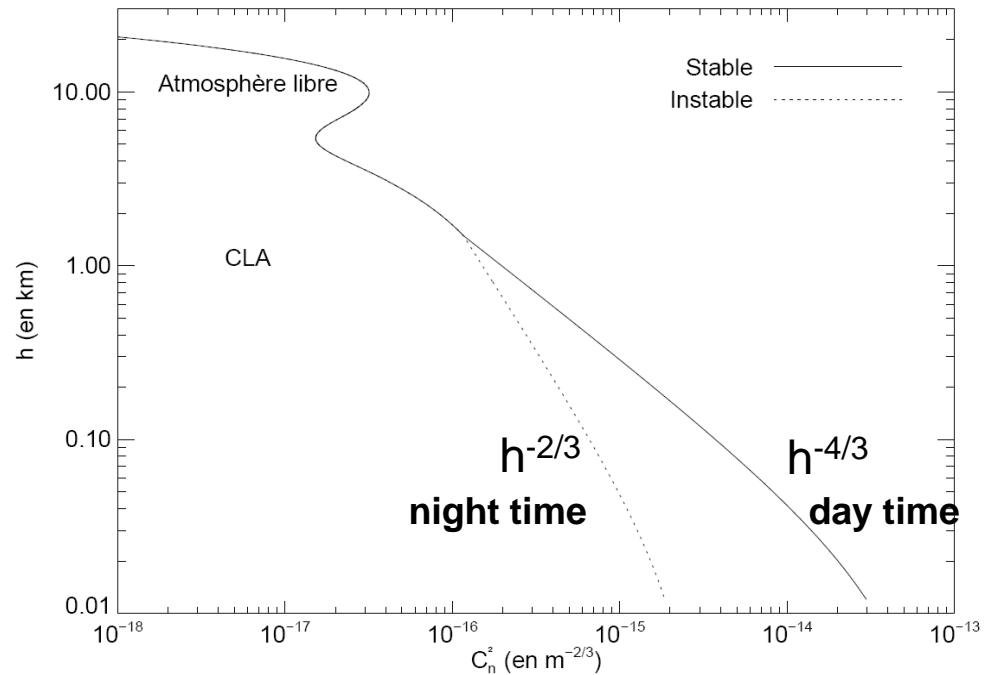
+ convection effects due to heat exchange between ground and air

C_N^2 : typical vertical distribution



Balloon probe profiles

Haute Provence Observatory Sept. 1997



Typical averaged C_n^2 profile

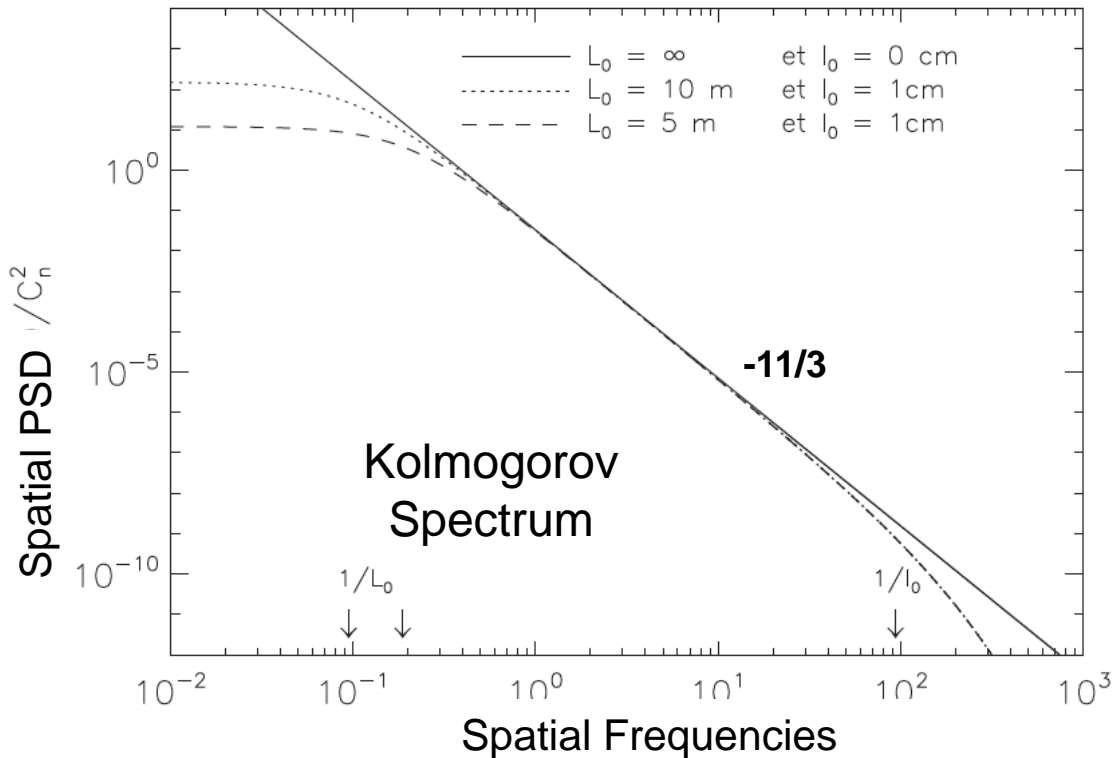
Usual approximation:

Atmosphere is horizontally stratified (thin independent layers) and non absorbing

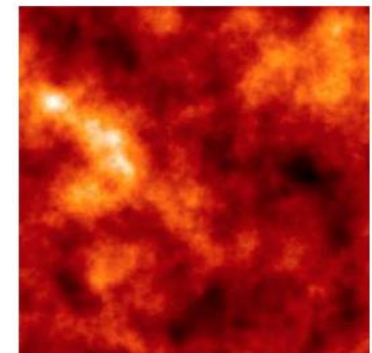
Turbulent Phase: Kolmogorov Statistics

Overall phase integrated over the line of sight profile $C_n^2(z)$

$\varphi(\mathbf{x})$: 2D Centered Gaussian Stationary Process characterized by its Spatial Power Spectral Density (PSD)



$$r_0 = \left(0,423 k_0^2 \int_0^L C_n^2(z) dz \right)^{-3/5}$$



Typical turbulent phase
20 microns PV OPD

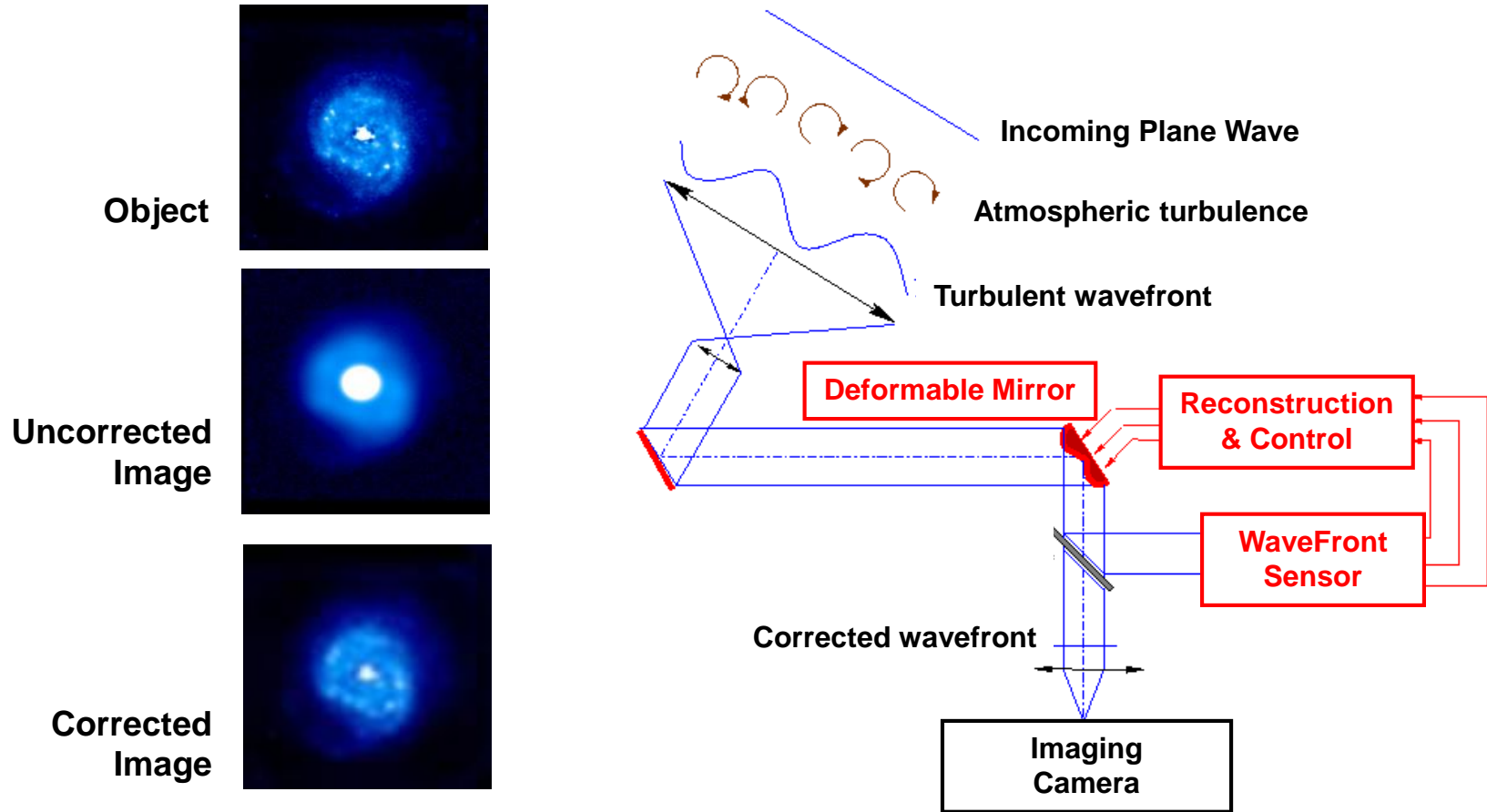
$$W_\varphi(\mathbf{f}) = 0.023 \left(\frac{1}{r_0} \right)^{5/3} f^{-11/3}$$

$$D_\varphi(\rho) = 6.88 (\rho / r_0)^{5/3}$$

Un point central pour l'astronomie moderne

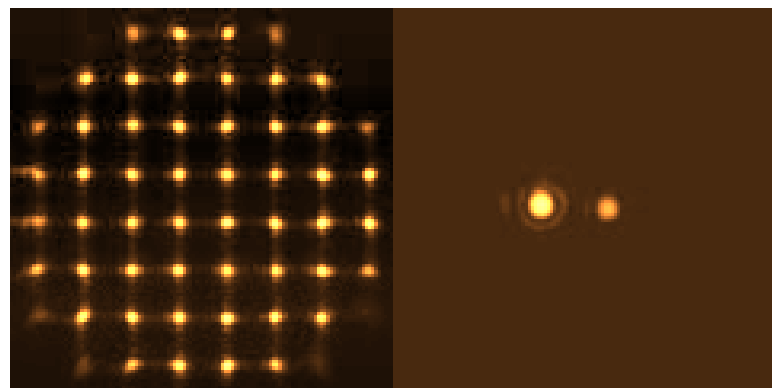
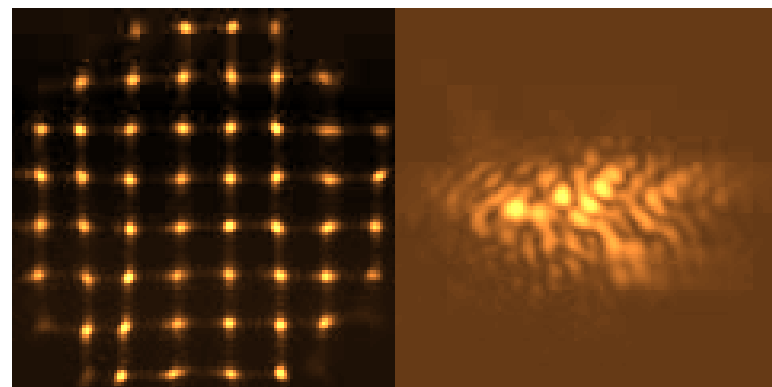
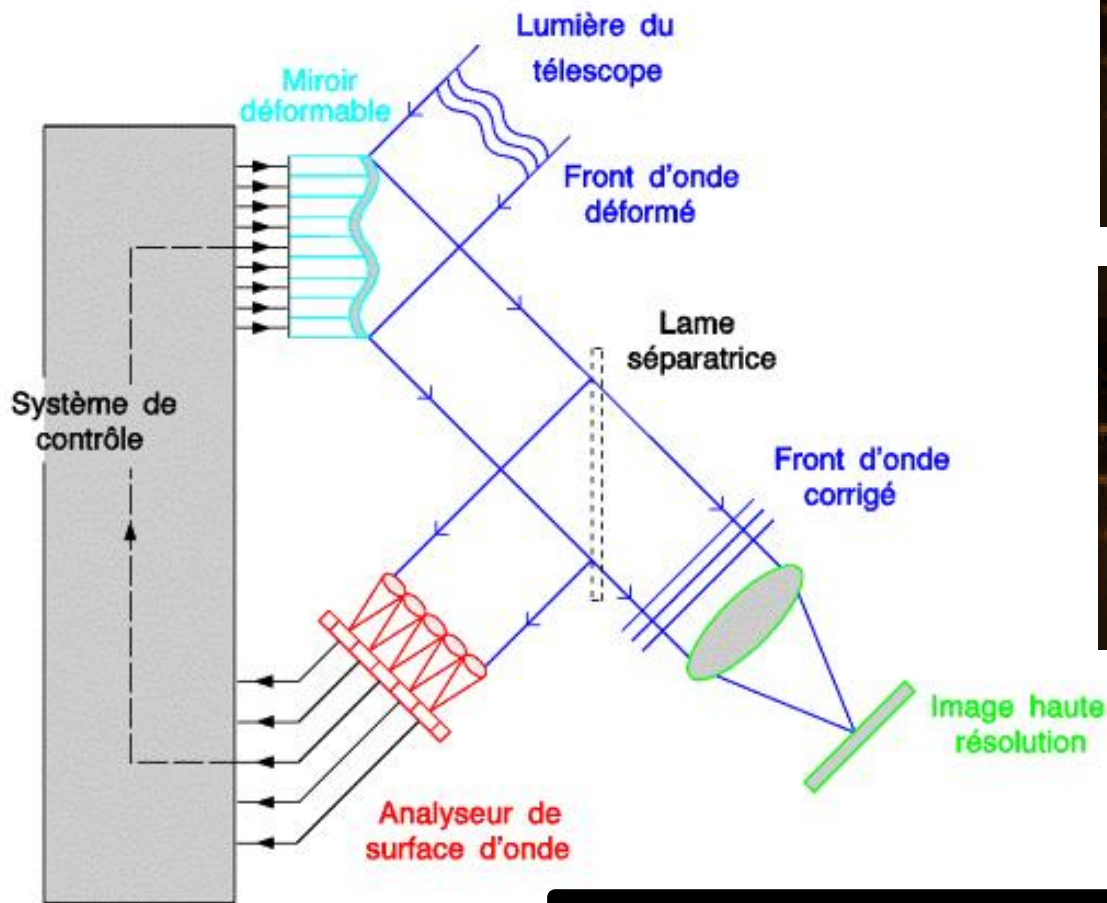
- ❑ **Turbulence : la cause du problème**
- ❑ **L'Optique Adaptative (OA)**
- ❑ **L'importance de l'analyse de surface d'onde**
- ❑ **Analyseurs de surface d'onde**
 - ❑ **Dans la pupille**
 - ❑ Shack-Hartmann
 - ❑ Pyramid
 - ❑ **Dans le plan focal**
 - ❑ Diversité de phase

Adaptive Optics Principle



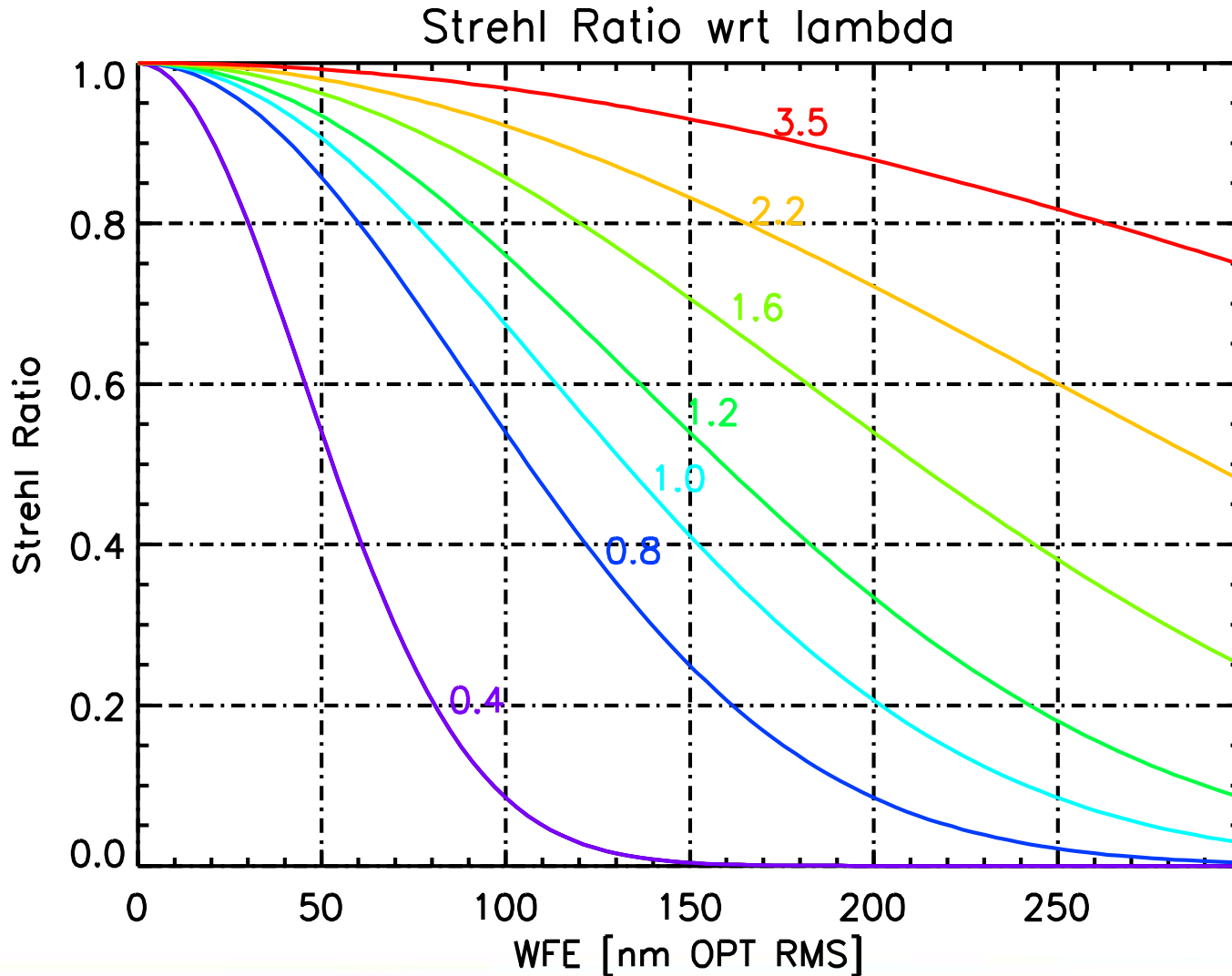
- Adaptive Optics allows to reach diffraction limited angular resolution
- Main components: Turbulence ; Def. Mirror ; Wave-Front Sensor ; Rec. & Control

Correction des effets de la turbulence : l'optique adaptative



La mesure de front d'onde : un point central en optique

AO correction criterion : Strehl Ratio



Télescope parfait
100% Strehl



Correction OA
~20% Strehl



Turbulence
~1% Strehl



2 decades of AO for astronomy ...

• The “learning” times

- First AO systems on 4m class telescopes
- System for Engineers
- Small systems
 - < 100 actuators
- Few astrophysical results

• The “operation” times

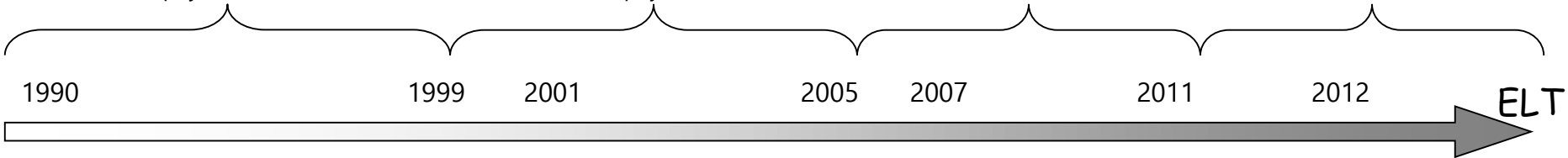
- First AO systems on 8m class telescopes
- Systems for astronomers
- Medium systems
 - around 200 actuators
- numerous astrophysical results

• The “LASER” times

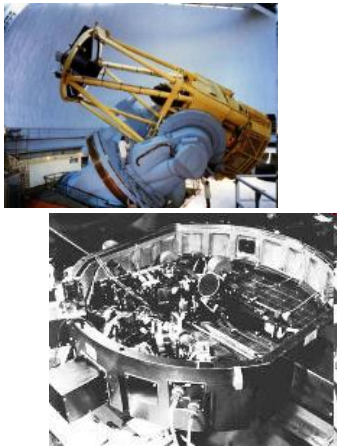
- Upgrade of AO systems on 8m class telescopes
- improvement of sky coverage
- LASER => increase complexity
- numerous astrophysical results

• The “specialization” times

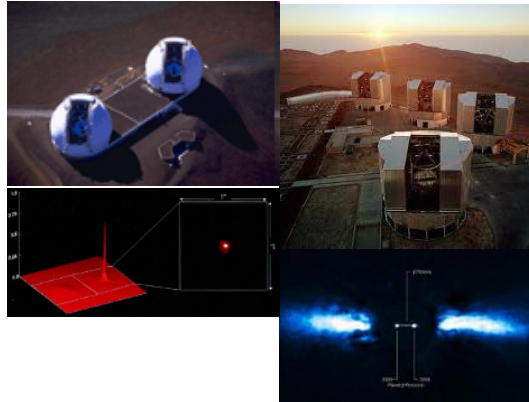
- dedicated AO systems for specific scientific programs
- Wide Field AO or XAO
- Huge increase of complexity
 - > 1000 actuators
- numerous astrophysical results



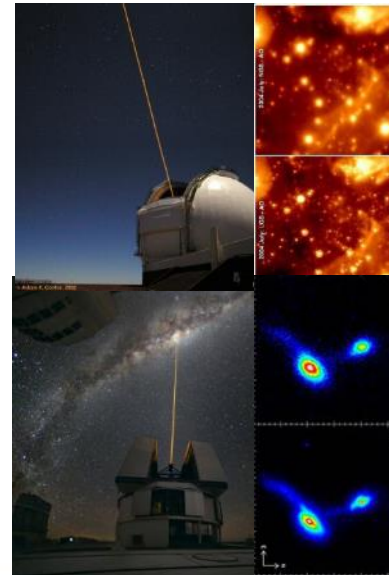
Come-on @ La Silla 3.6 m telescope



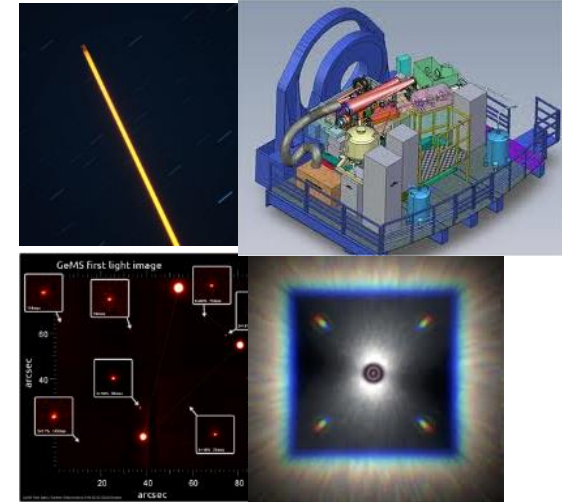
Keck AO **NAOS (VLT)** ALTAIR (Gemini)



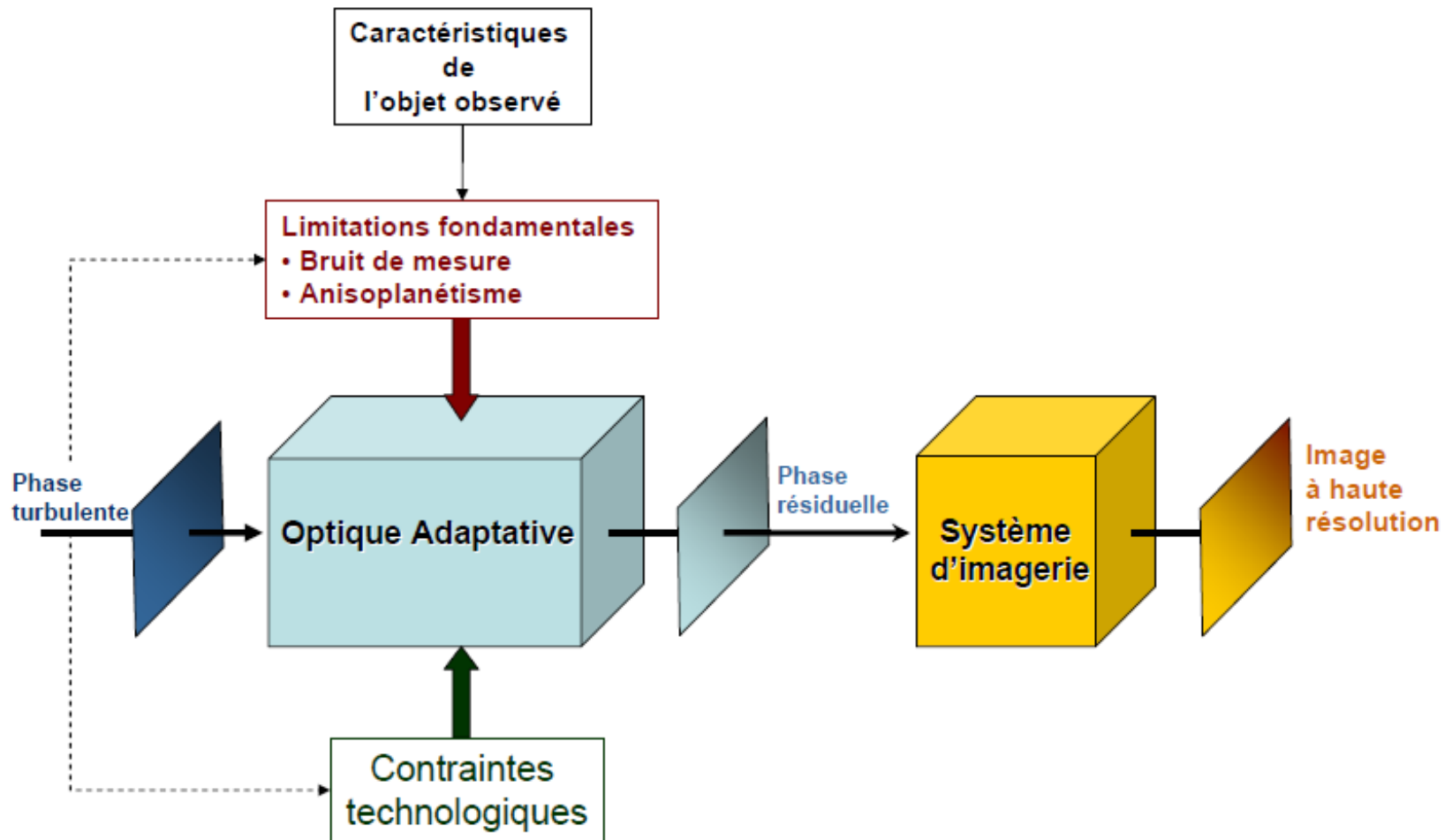
Keck LGS **NAOS LGS**



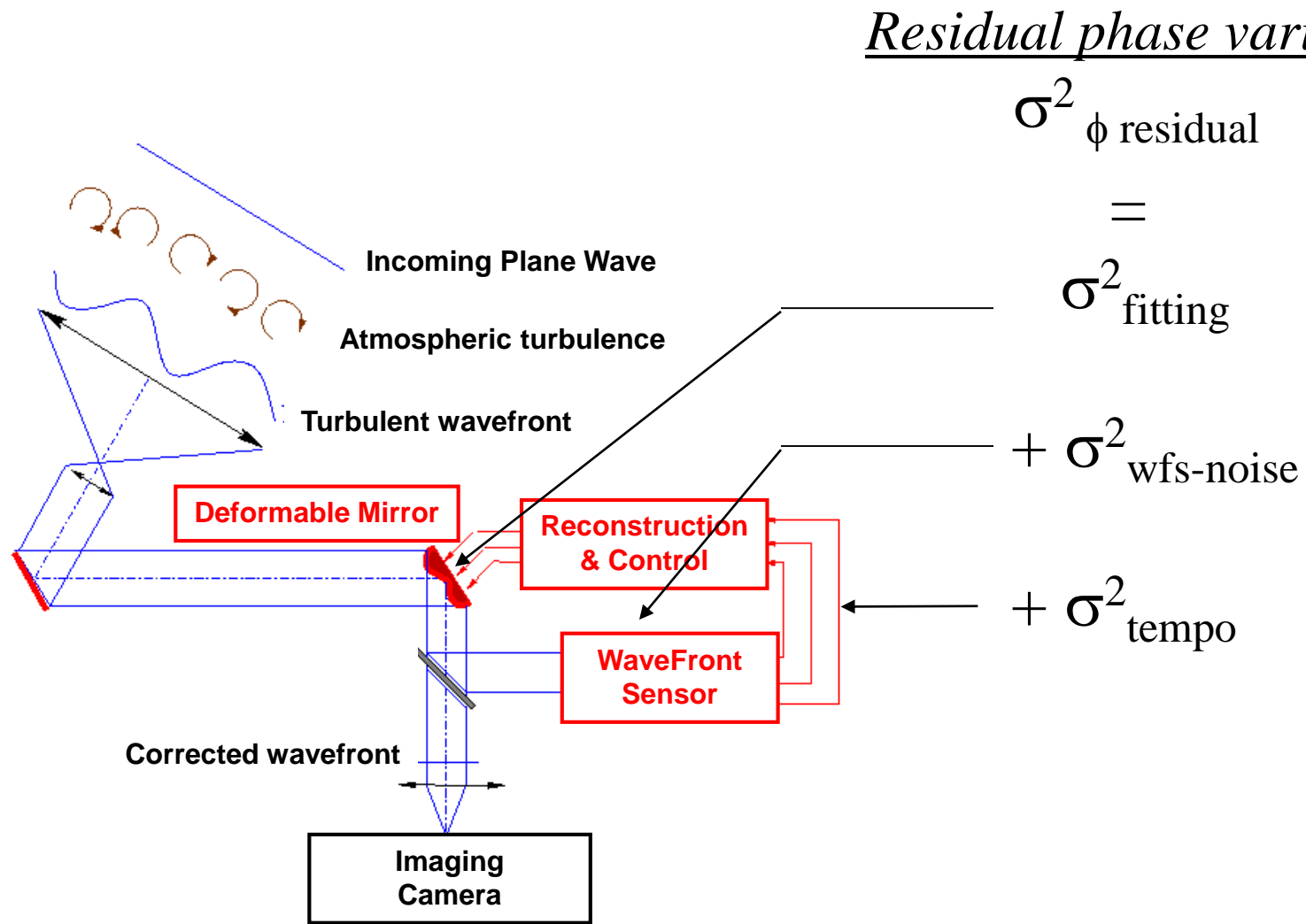
Gems (Gemini) **SPHERE (VLT)** GPI (Gemini)



L'OA : un filtre passe haut !



Adaptive Optics: Main Contributors to Residual Phase



Residual phase variance

$$\sigma^2_{\phi \text{ residual}}$$

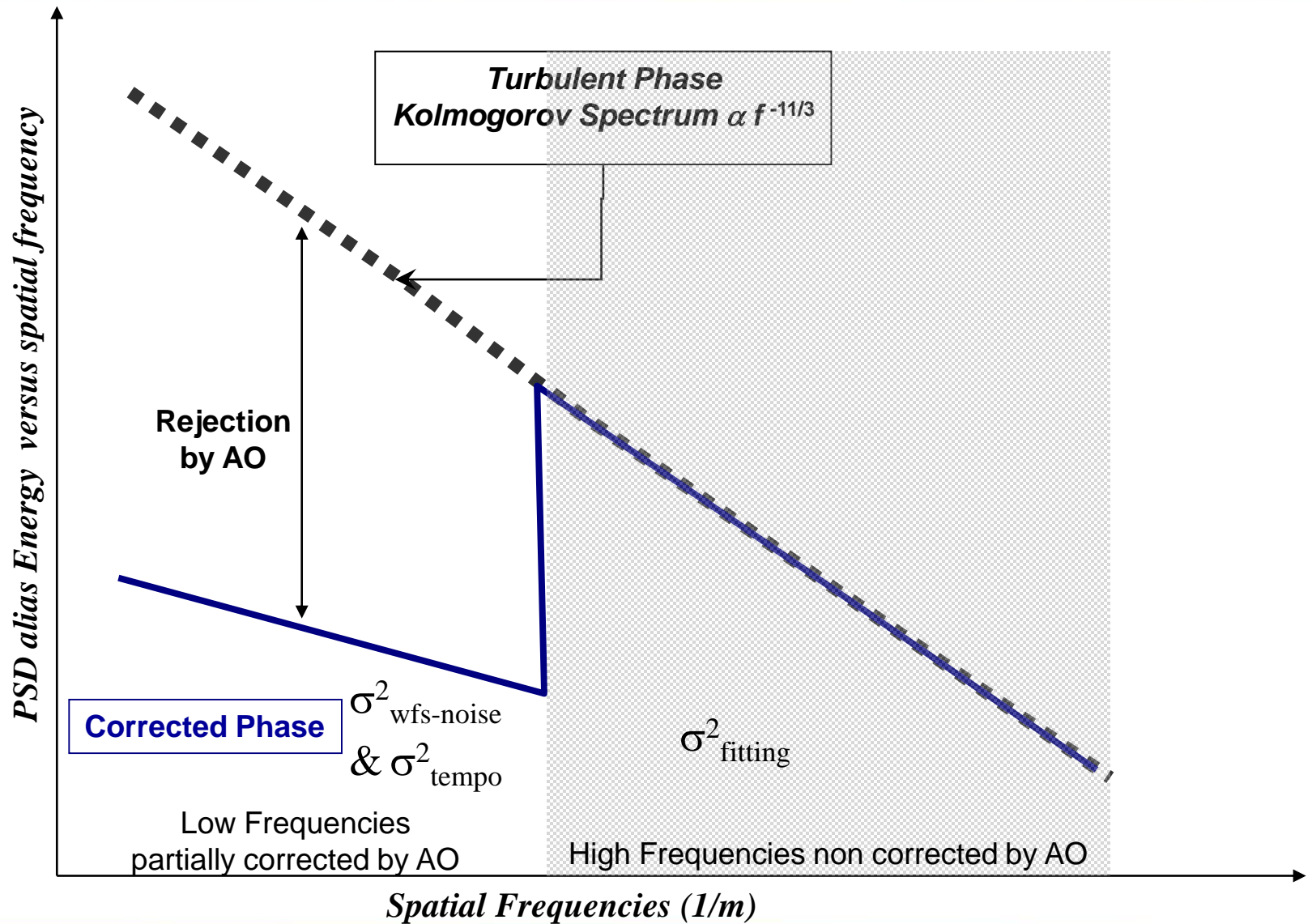
=

$$\sigma^2_{\text{fitting}}$$

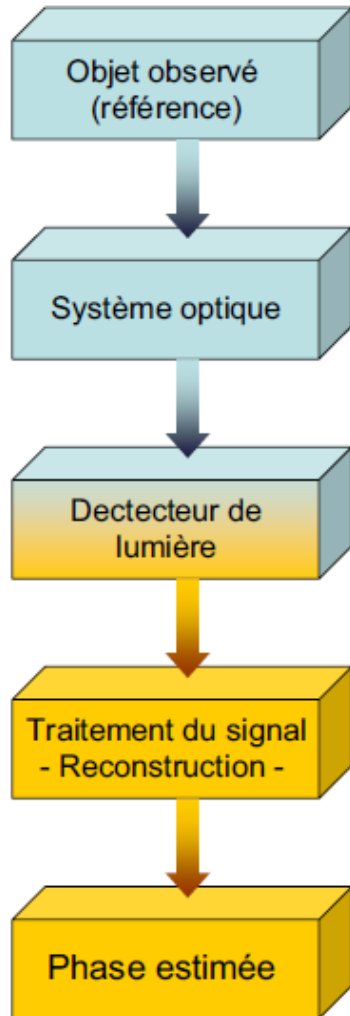
$$+ \sigma^2_{\text{wfs-noise}}$$

$$+ \sigma^2_{\text{tempo}}$$

Residual Phase after AO Correction



Analyse de front d'onde : schéma générique



Signal à mesurer. Objet ponctuel (étoile, point brillant) ou étendu (galaxie, sol terrestre...)

Codage de l'information :

transformation de phase en intensités

Shack-Hartman, courbure, pyramide, 3/4 ondes, interféromètres, diversité de phase ...

$$I = F(\phi)$$

Detection des photons :

⇒rapide (kHz), sensible (faible flux), large bande ($R \sim 1$)

Inversion du signal

→Modél de formation de données

→Approximation linéaire (pour temps réel)

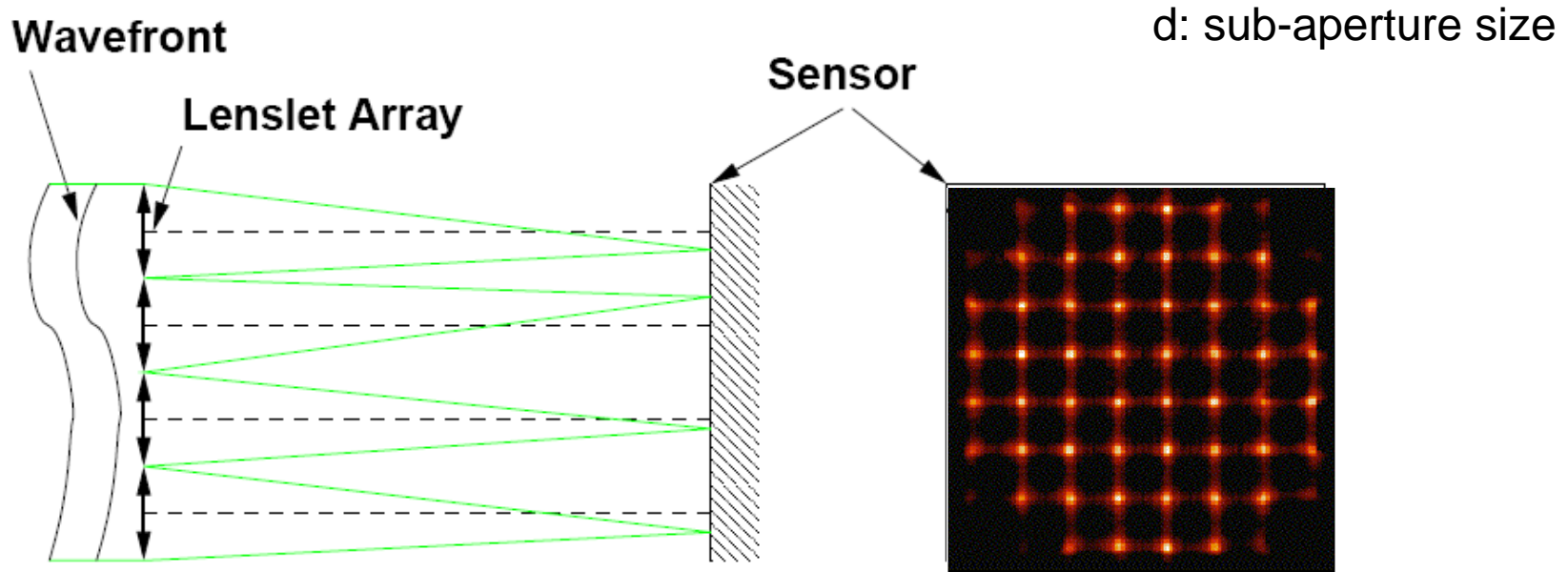
→Choix d'un base (modale, zonale)

⇒ Approximation de F^{-1}

$$\phi = F^{-1}(I)$$

Données finales utilisables dans la boucle d'OA

Shack-Hartmann Wave-Front Sensor (WFS)



K sub-apertures $\longrightarrow 2 K$ centers of gravity $\{s_{x/y,i}\} = s$

Principle: measurement of the wave-front local slope:

WFS data are called “slopes”

$$s_{x,i} = \frac{\lambda f}{2 \pi S_i} \int_{S_i} \frac{\partial \phi(x, y)}{\partial x} dx dy + noise$$

□ Linear model :

$$s = D\phi + w$$

- Shack-H. Slope is achromatic!!
- Slope generally expressed in $\Delta\phi$ phase difference at the edge of sub-ap.

Measurement Noise on Shack-Hartmann Slopes

Case of a Detector limited by Photon Noise

Slope noise variance expressed in phase difference at sup-aperture edge at the WFS wavelength

$$\sigma_{\Delta\varphi}^2 = \frac{\pi^2}{2} \frac{1}{n_{ph}} \left(\frac{\theta}{\lambda/d} \right)^2 \quad (\text{rad}^2)$$

θ : angular size of the sub-aperture spot

o λ/d if limited by diffraction

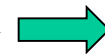
o λ/r_0 if limited by seeing

o θ_{object} if resolved object

n_{ph} : number of photons per sub-aperture & per frame

- In practice : $d \sim \text{pitch}$
- Trade off between :

- reduction of fitting error $\Rightarrow d \searrow$
- reduction of noise error $\Rightarrow d \nearrow$



Depends on the applications
(ultimate perf / limit magnitude ...)

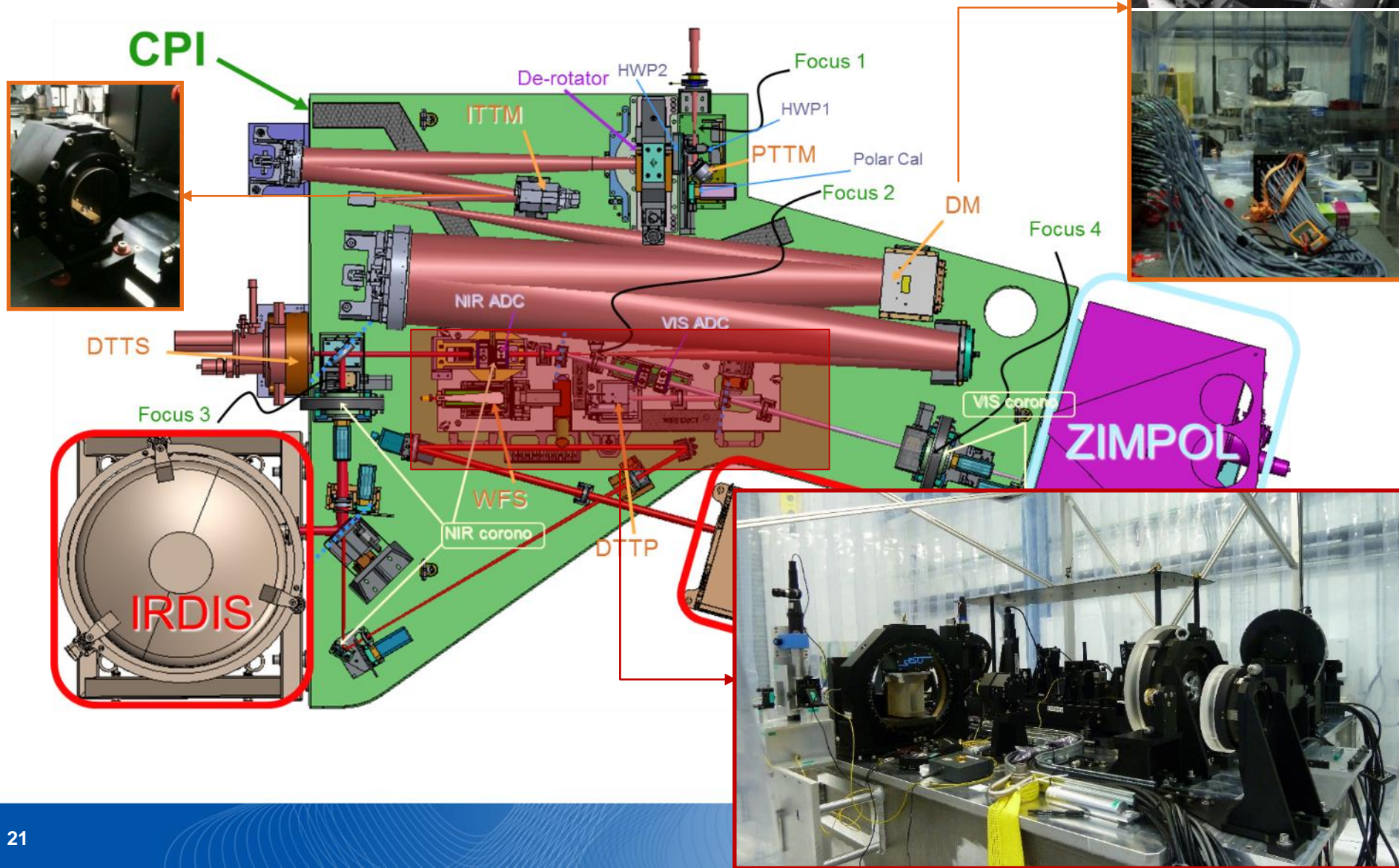


Users specifications
are
ESSENTIALS !!!!



Interactions with end-users
(astronomers)
During all the AO system development

SPHERE ... du concept à la réalité

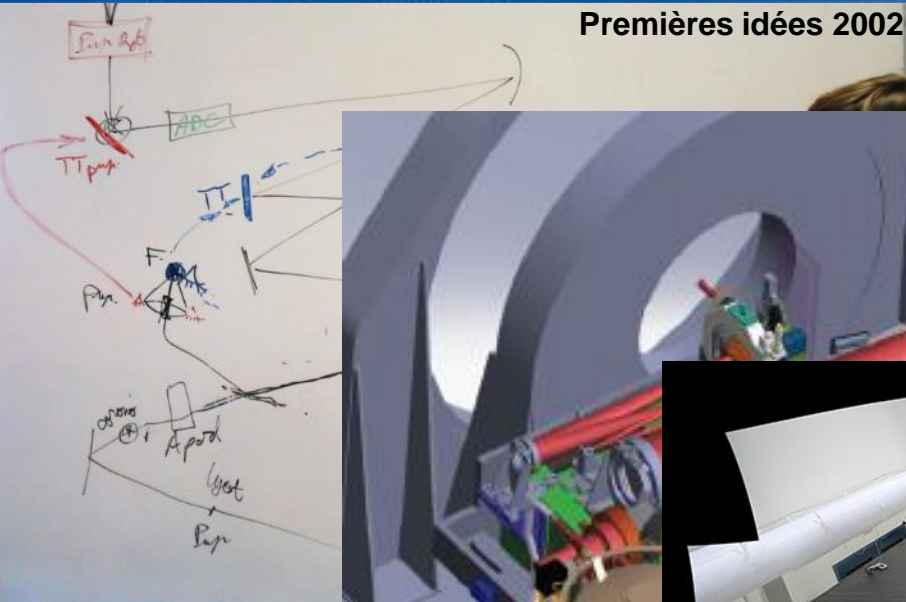


Il était une fois ... SPHERE ... Une longue histoire, qui se finit bien !

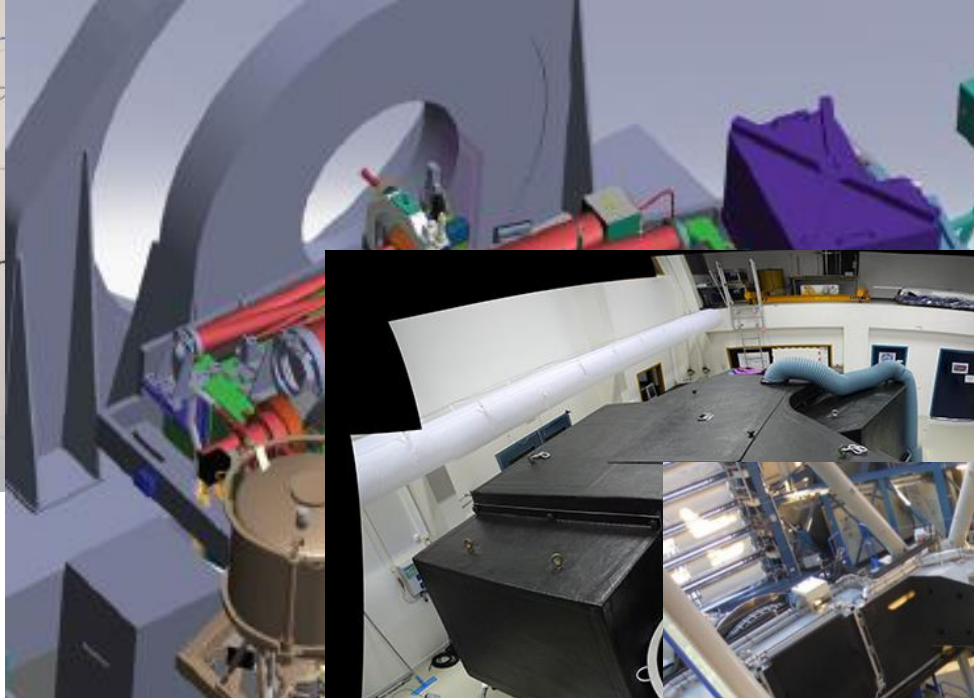


Spectro-Polarimetric
High-contrast
Exoplanet REsearch

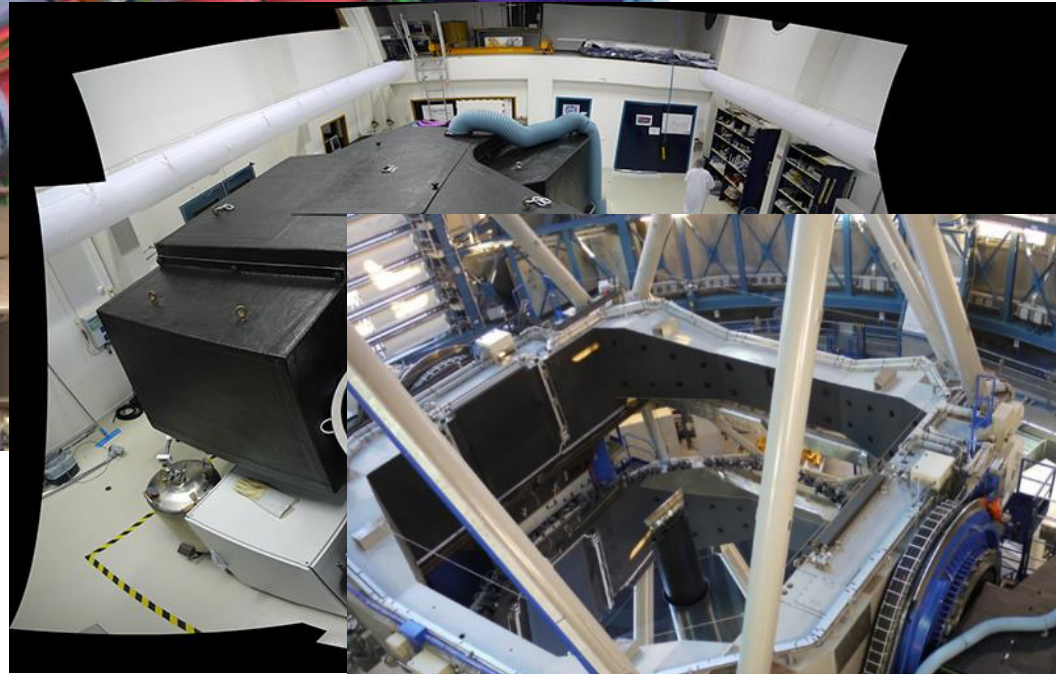
Premières idées 2002



Design final 2008



AIT à Grenoble (2011-13)



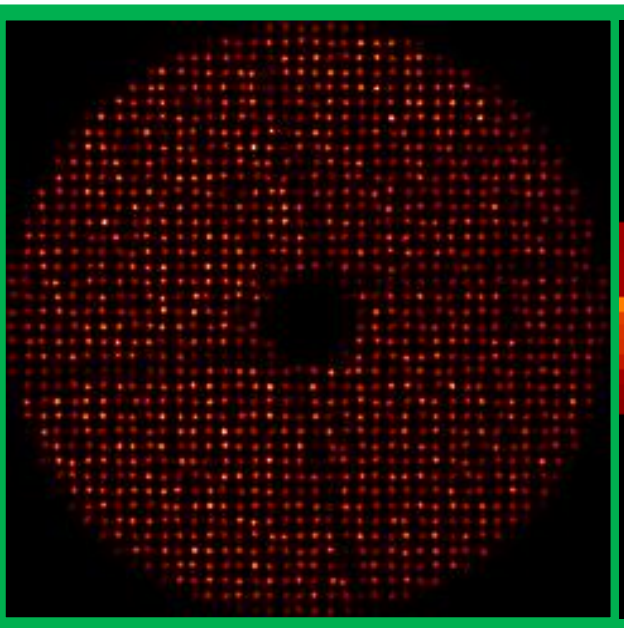
On Sky 2014



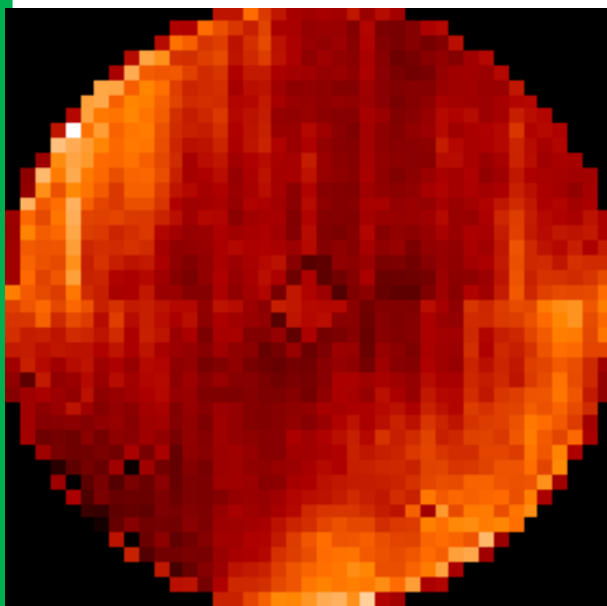
Optique adaptative extreme... ...analyse de front d'onde extrême



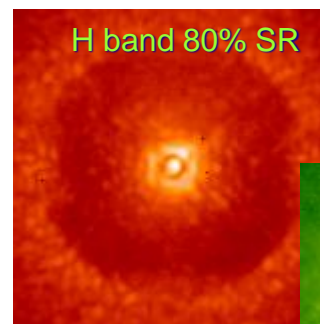
On sky data (May 2014)



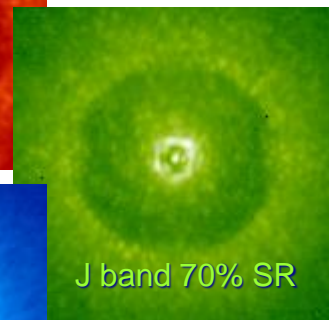
40x40 EMCCD filtered SH WFS



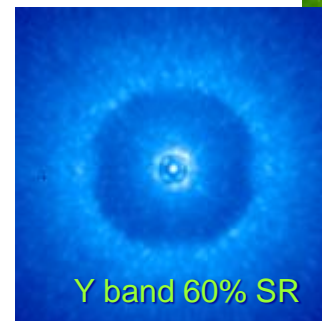
41x41 Piezzo DM



H band 80% SR



J band 70% SR



Y band 60% SR

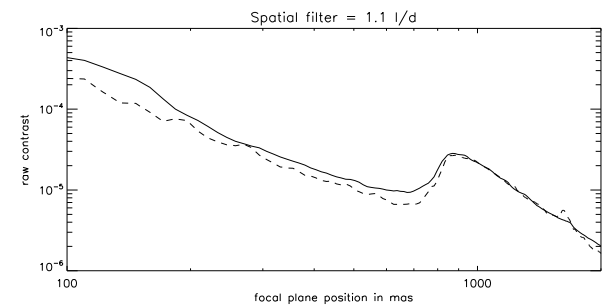
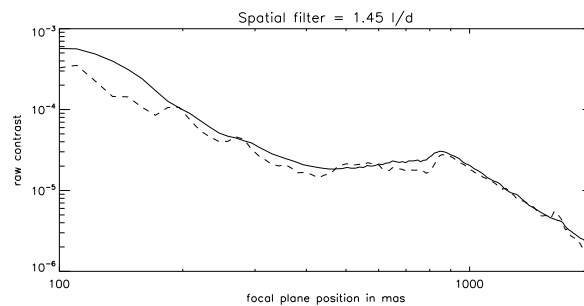
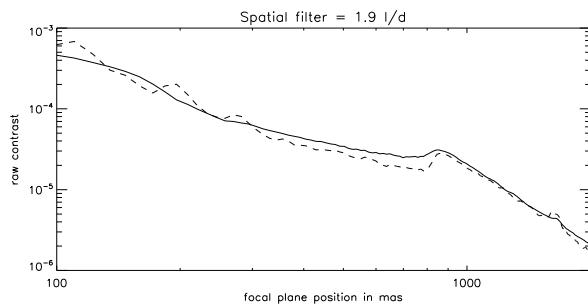
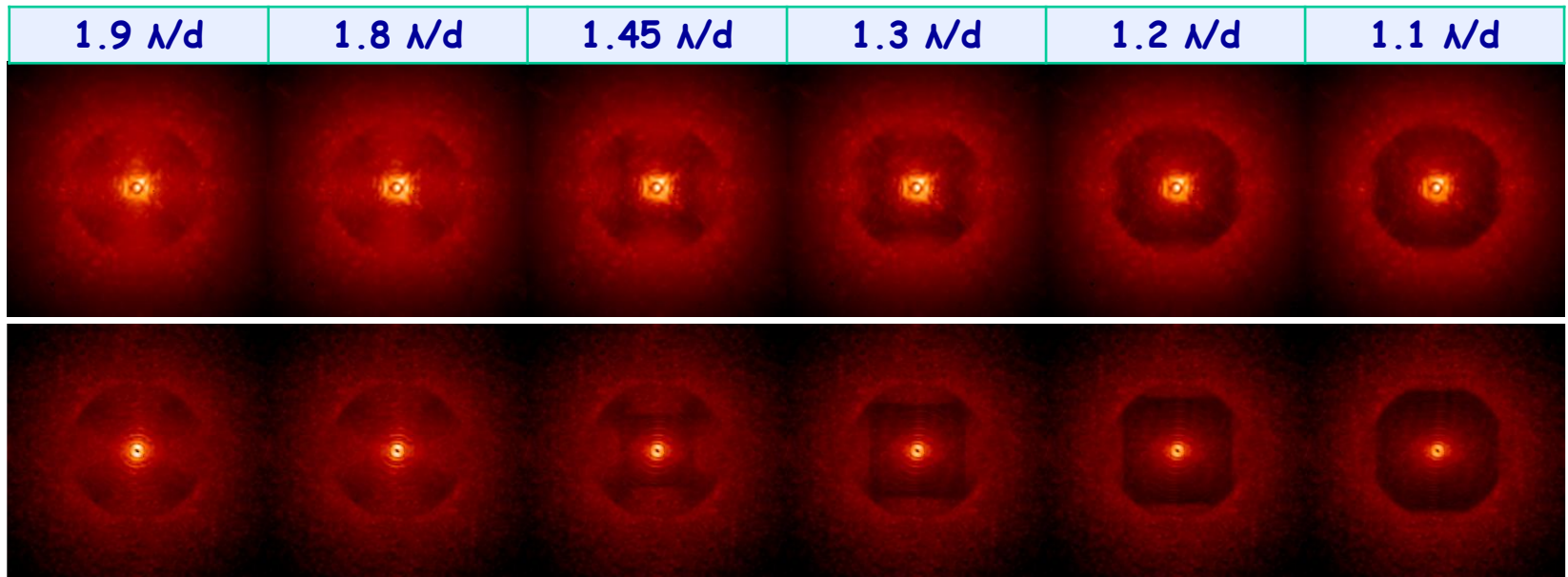
SAXO, le cœur de SPHERE
un cœur qui bat 1200 fois par seconde



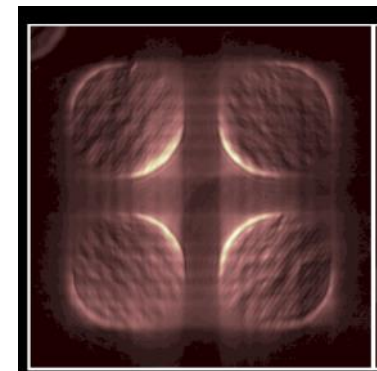
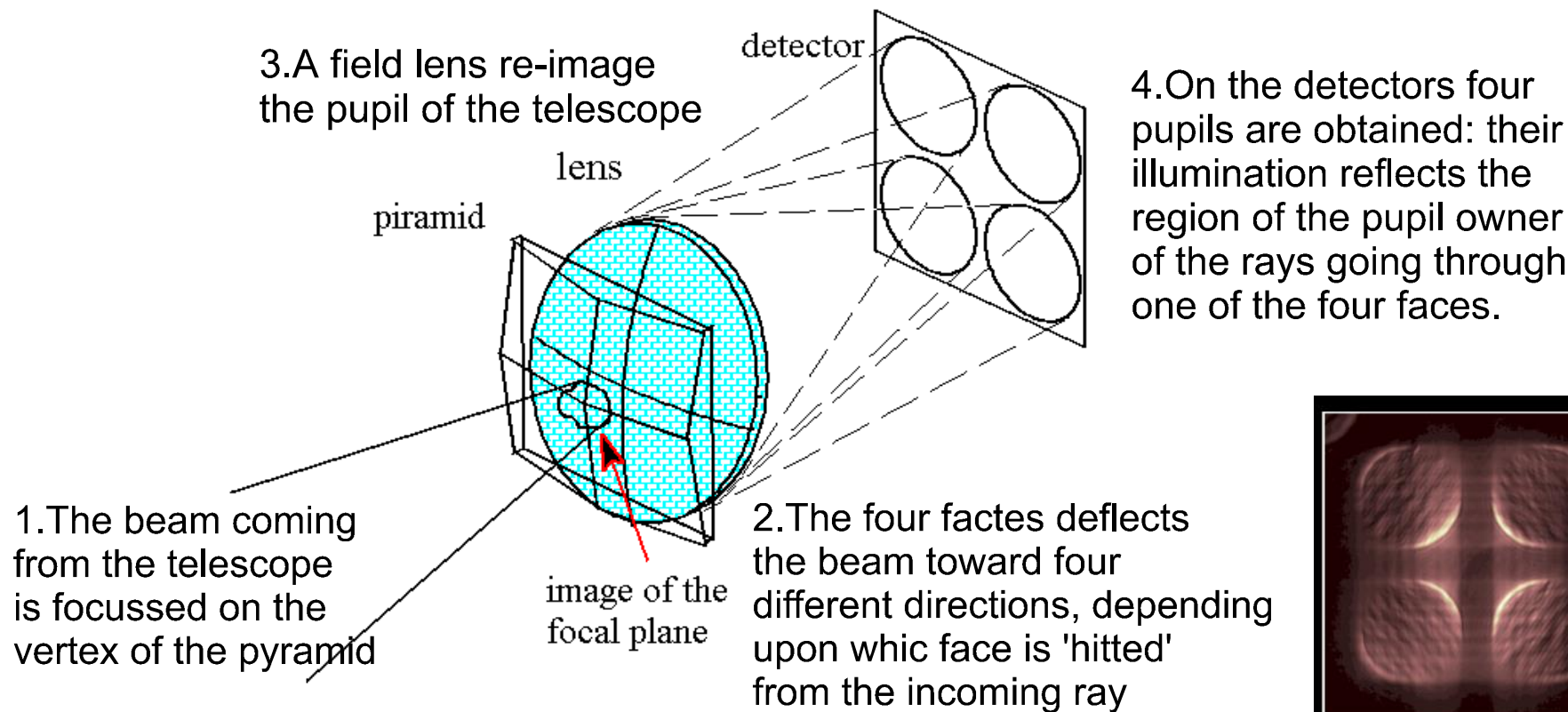
Experience vs simulation

On sky data

2014/05/16
05:37 UT
seeing ~ 0.7



Pyramid WFS concept

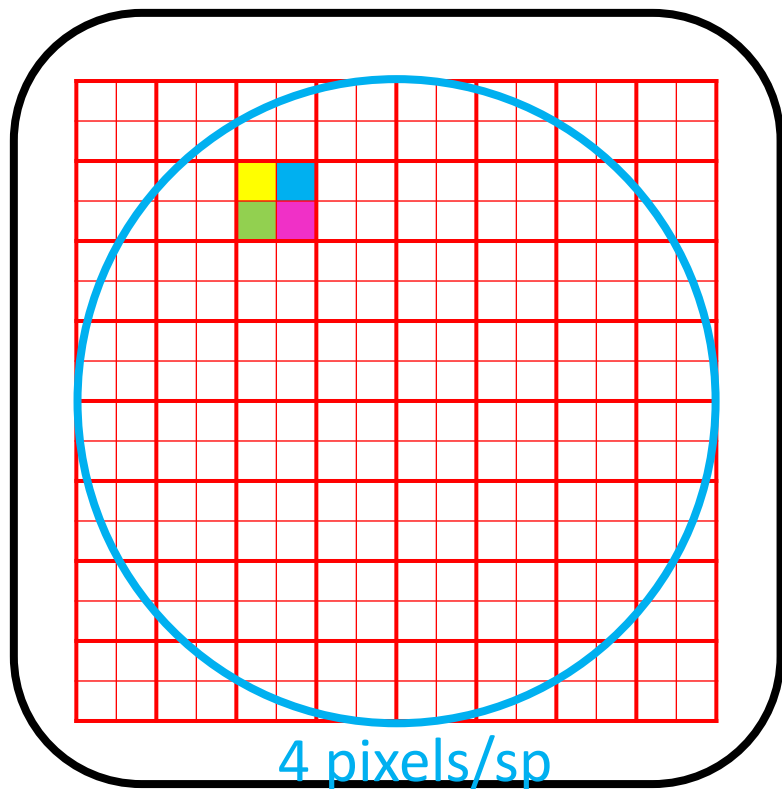


LOOPS bench, LAM

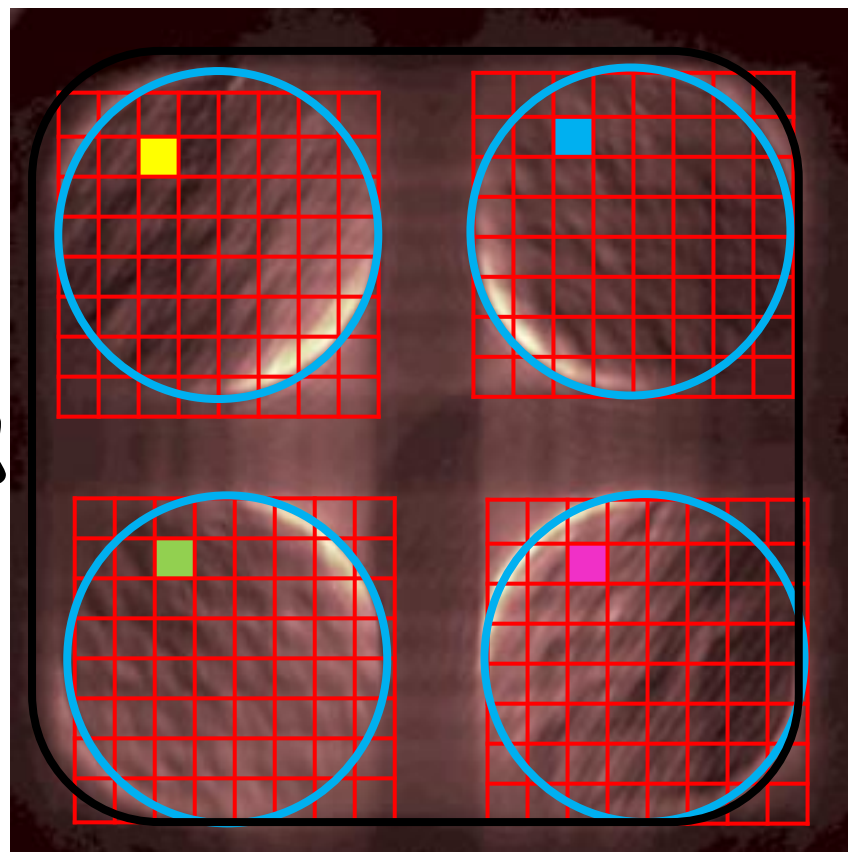
Pyramid WFS

- ❑ Variable Gain
- ❑ Higher Sensitivity (uses whole telescope aperture) $(D/r_0)^2$ in closed loop
- ❑ Higher Dynamic Range From λ/D to Pyramid size
- ❑ Easily rebinnable (no extra RON)
- ❑ Easy alignment with the CCD
- ❑ Modulation???

Pyramid WFS



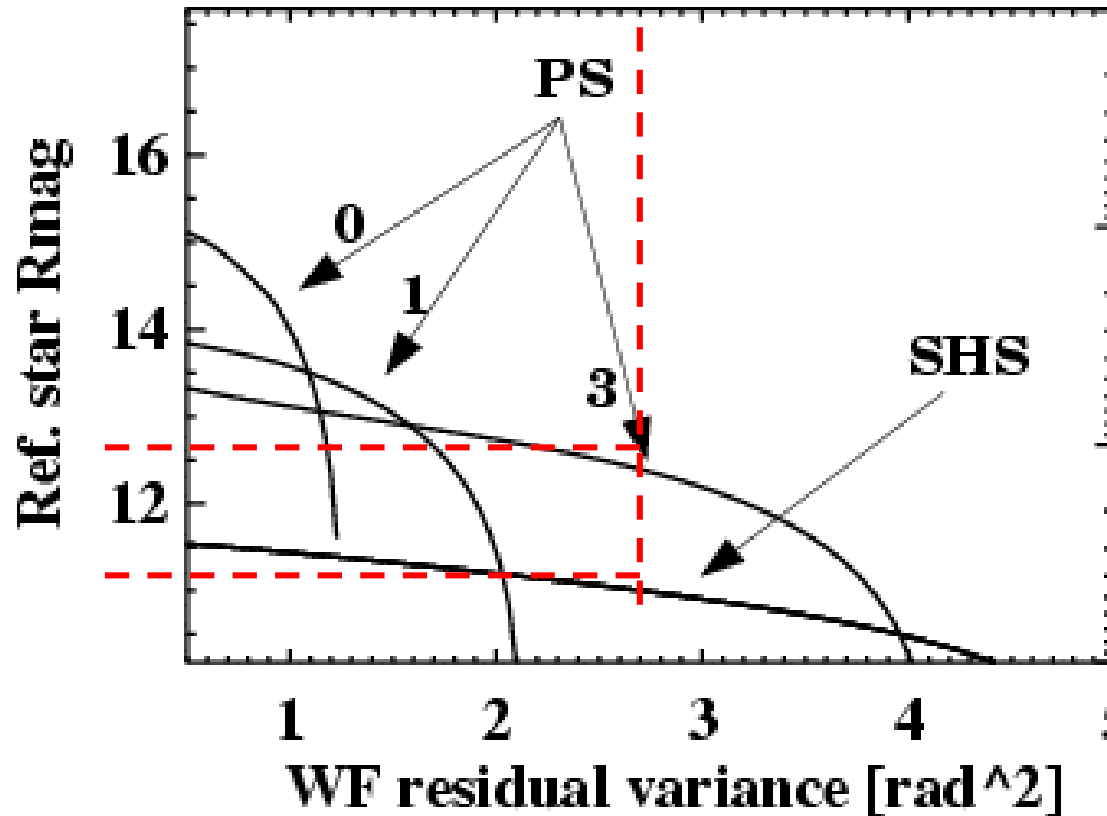
&



- ✓ SH WFS: pupil \rightarrow sp (MLA) & field \rightarrow quadrants (pixels)
- ✓ PWFS: field \rightarrow quadrants (pyramid) & pupil \rightarrow sp (pixels)
 - \rightarrow Identical (geom. optics) but rearrangement of pixels is different

Pyramid wrt SHWFS sensitivity

SHS vs. PS, Rec error = 0.5 [rad²]



PYR : gain wrt SHWFS
depend also on N
subaperture.

d=0.5m

- 1.5 mag sur VLT
- 3.0 mag sur ELT

Esposito 2000

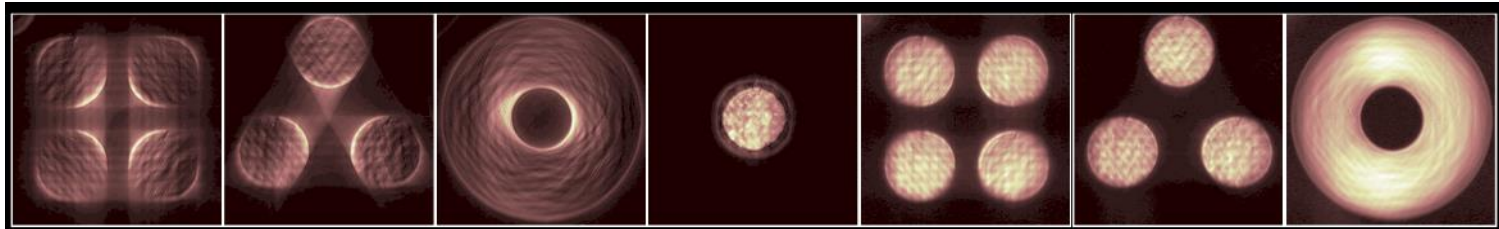
- Analytics
- Num simulation
- Visible WFS

Pyramid vs Shack-Hartmann WFS

- ❑ Wavefront measurement error can be much lower
 - Shack-Hartmann: size of spot limited to λ / d , where d is size of a sub-aperture and usually $d \sim r_0$
 - Pyramid: size of spot can be as small as λ / D , where D is size of whole telescope. So spot can be $D/r_0 = 20 - 100$ times smaller than for Shack-Hartmann
 - Measurement error (e.g. centroiding) is proportional to spot size/SNR. Smaller spot = lower error.
- ❑ Avoids bad effects of charge diffusion in CCD detectors
 - Fuzzes out edges of pixels. Pyramid doesn't mind as much as S-H.
- ❑ Linear response over a larger dynamic range
- ❑ Naturally filters out high spatial frequency information that you can't correct anyway

Analyseur à Pyramide...et après ?

- Analyseurs à filtrage de Fourier
 - Projet national WOLF porté par l'ONERA / LAM (Fusco)
- Développement de modèles analytiques récent (Fauvarque, Chambouleyron)
- Développement de moyens expérimentaux (LOOPS, Janin-Potiron)
- Promet une large gamme d'améliorations



Classique...

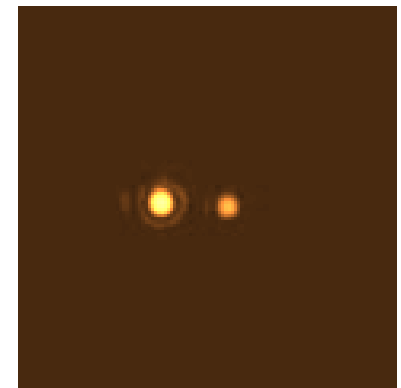
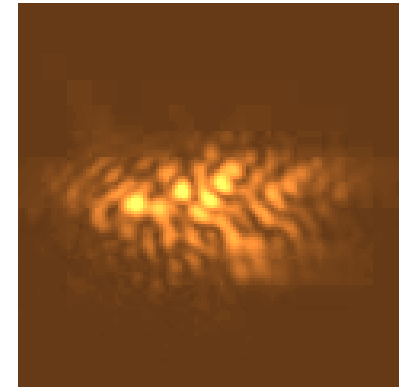
Nombre de faces...

Angle applati

Modulation...

Diversité de phase

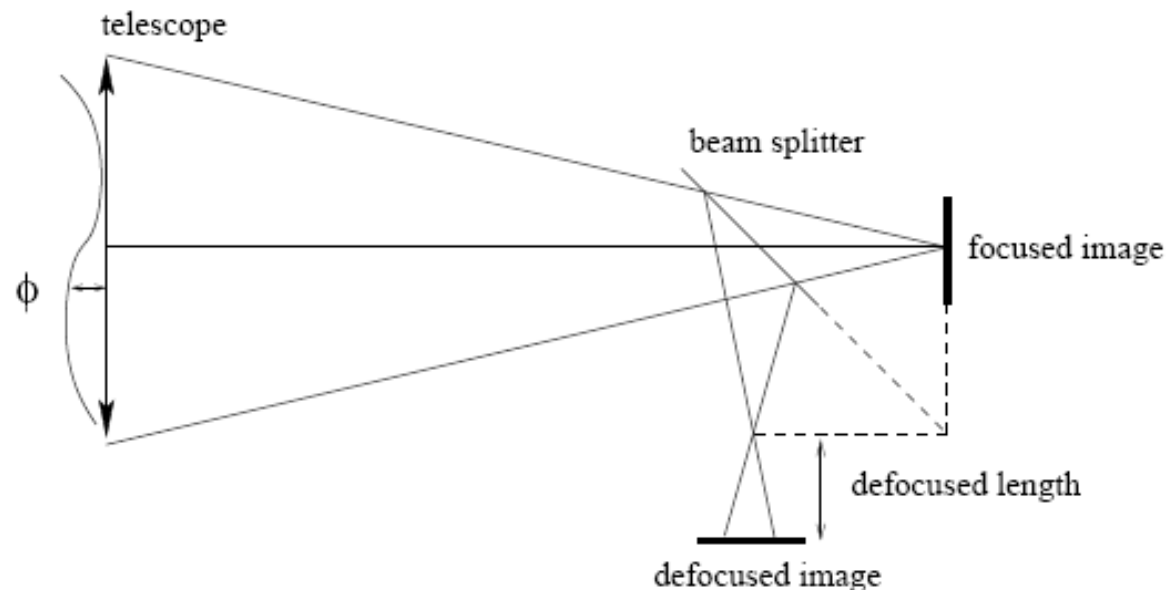
- Déformation **de front d'onde** => Déformation de **l'image**
- Or dans l'imagerie, la grandeur d'intérêt : **image**
- Analyse de front d'onde plan-focal :
 - Et si l'image suffisait à mesurer les aberrations ?
- Modèle de formation d'image ?
 - $\Phi \rightarrow$ Image
 - Cas d'une source ponctuelle : $\text{Image} = |\text{TF}(Pe^{i\Phi})|^2$
 - Cas d'une source étendue : $\text{Image} = \text{objet} * \text{TF}(Pe^{i\Phi})|^2$



Diversité de phase

- 1 seule image suffit presque...mais il subsiste une indétermination
- 2 images sont nécessaires en pratique

From the 2 images, one can imagine an algorithm to obtain the phase

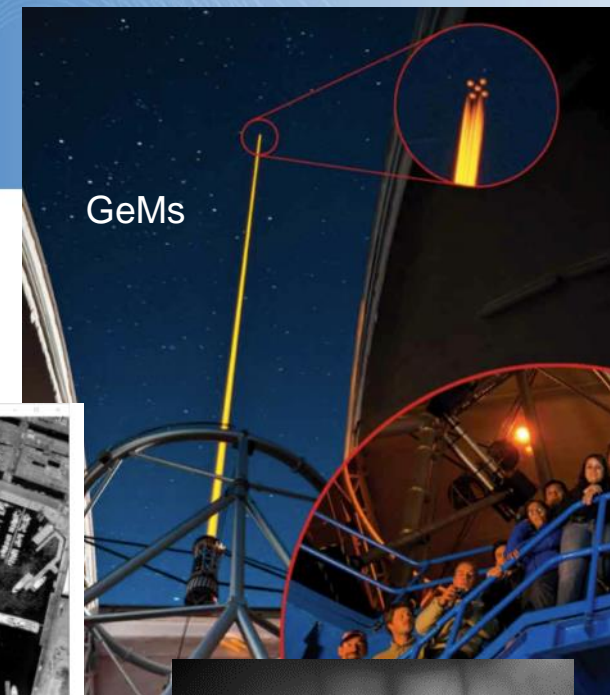


Diversité de phase

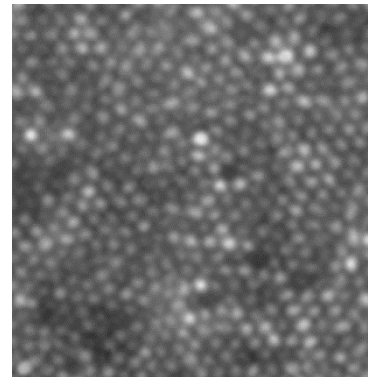
- ❑ Estimation du front d'onde directement dans l'image
 - ❑ Au plus près du signal d'intérêt
- ❑ Pas de voie optique différentielle
- ❑ Modèle de formation d'image non linéaire => Algorithme + complexe, lent (minute)
- ❑ Utilisé aujourd'hui principalement pour des aberrations lentement variables.

Analyse de front d'onde : de multiples applications

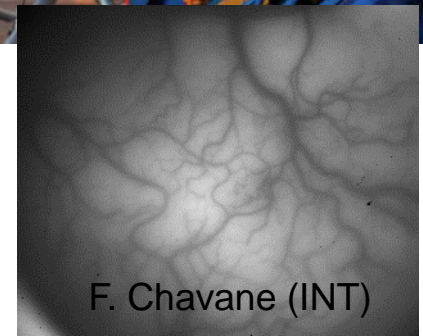
- Astronomie
 - Etoiles Laser
- Spatial
 - Observation de la Terre
- Microscopie
 - Imagerie du cortex
- Ophtalmologie
 - Imagerie rétinienne
- Domaine TeraHertz
 - Mesure / contrôle de front d'onde



ONERA



Joe Carroll
2 μm resolution



F. Chavane (INT)

